

FIG. 1

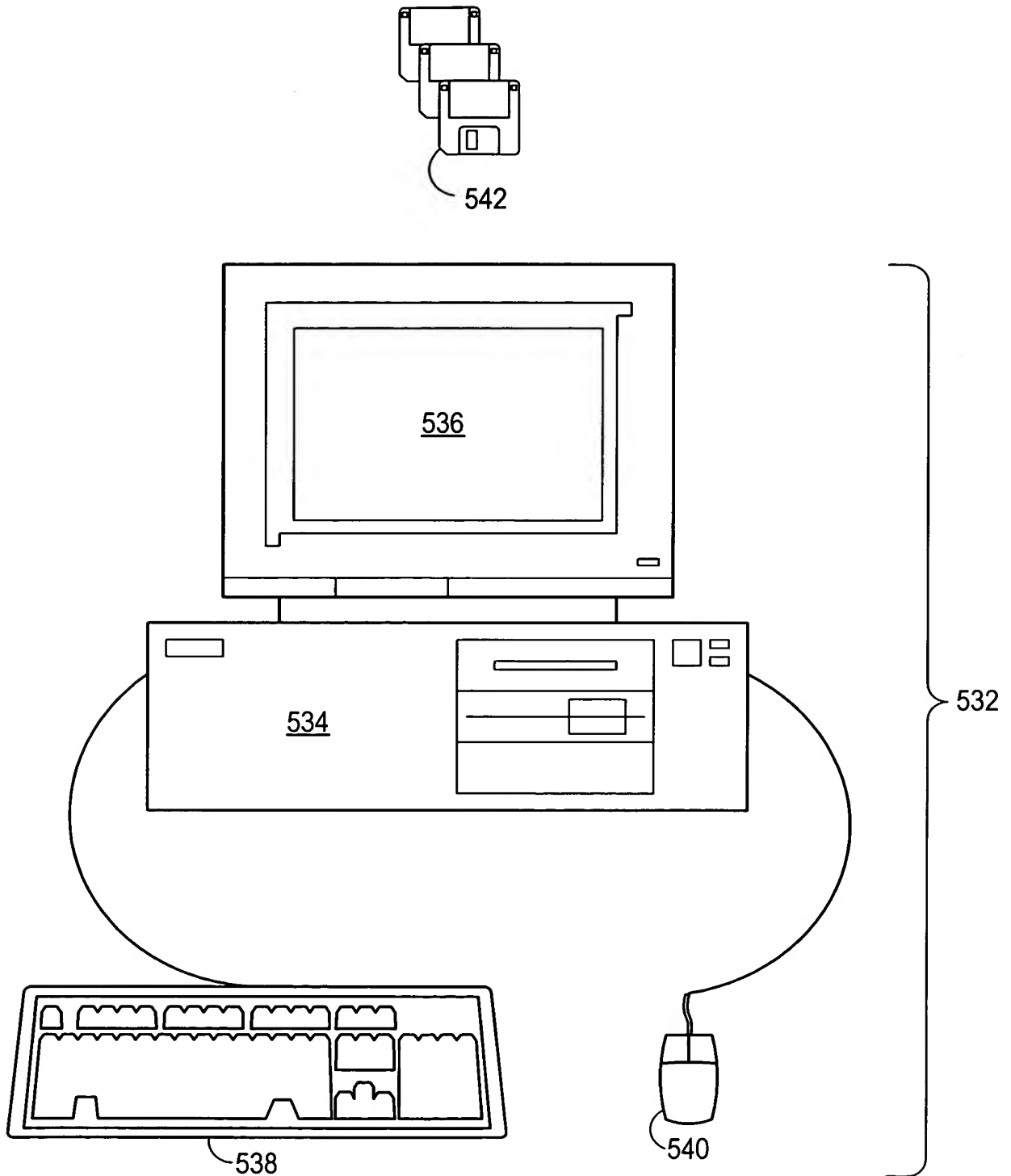


FIG. 2

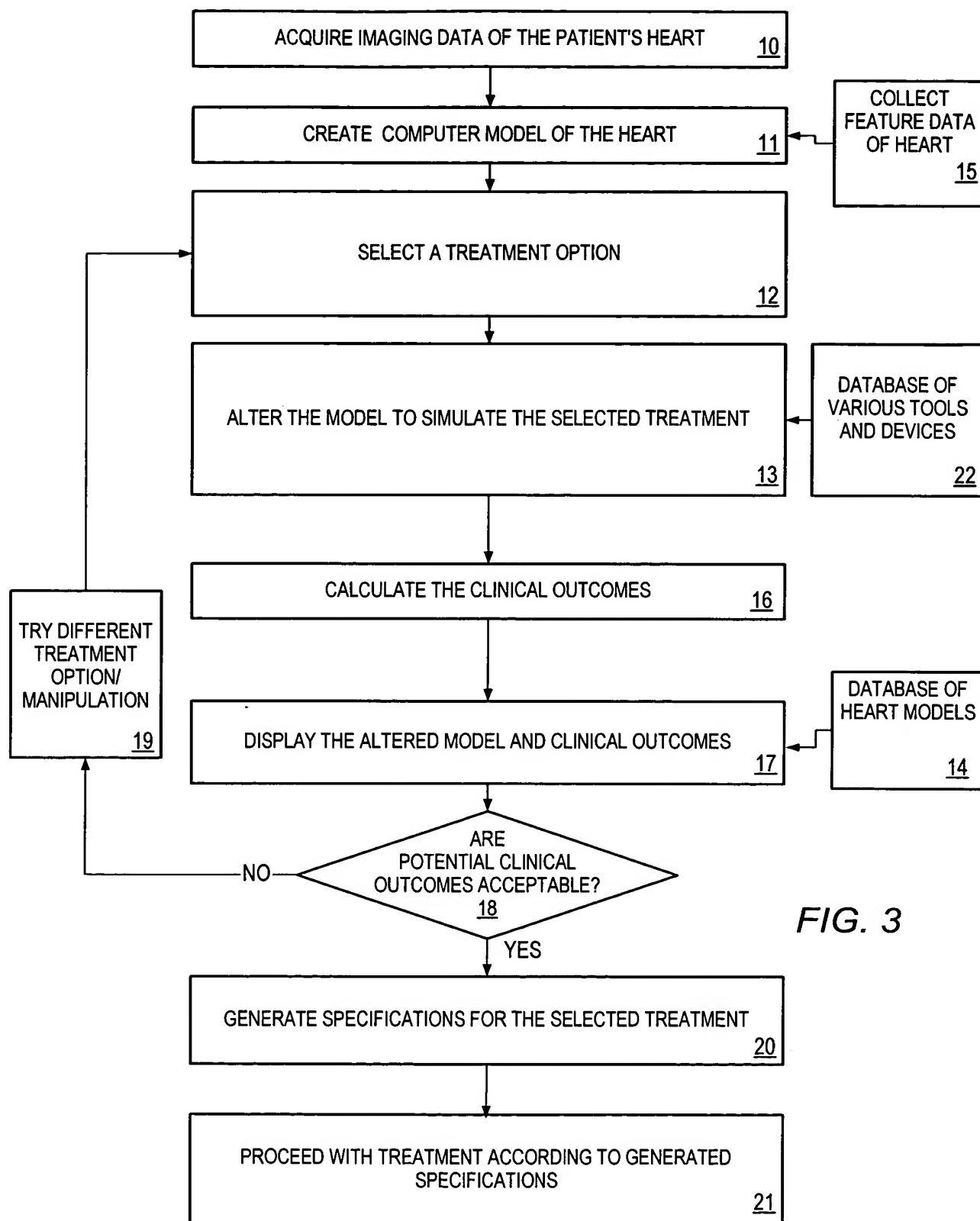
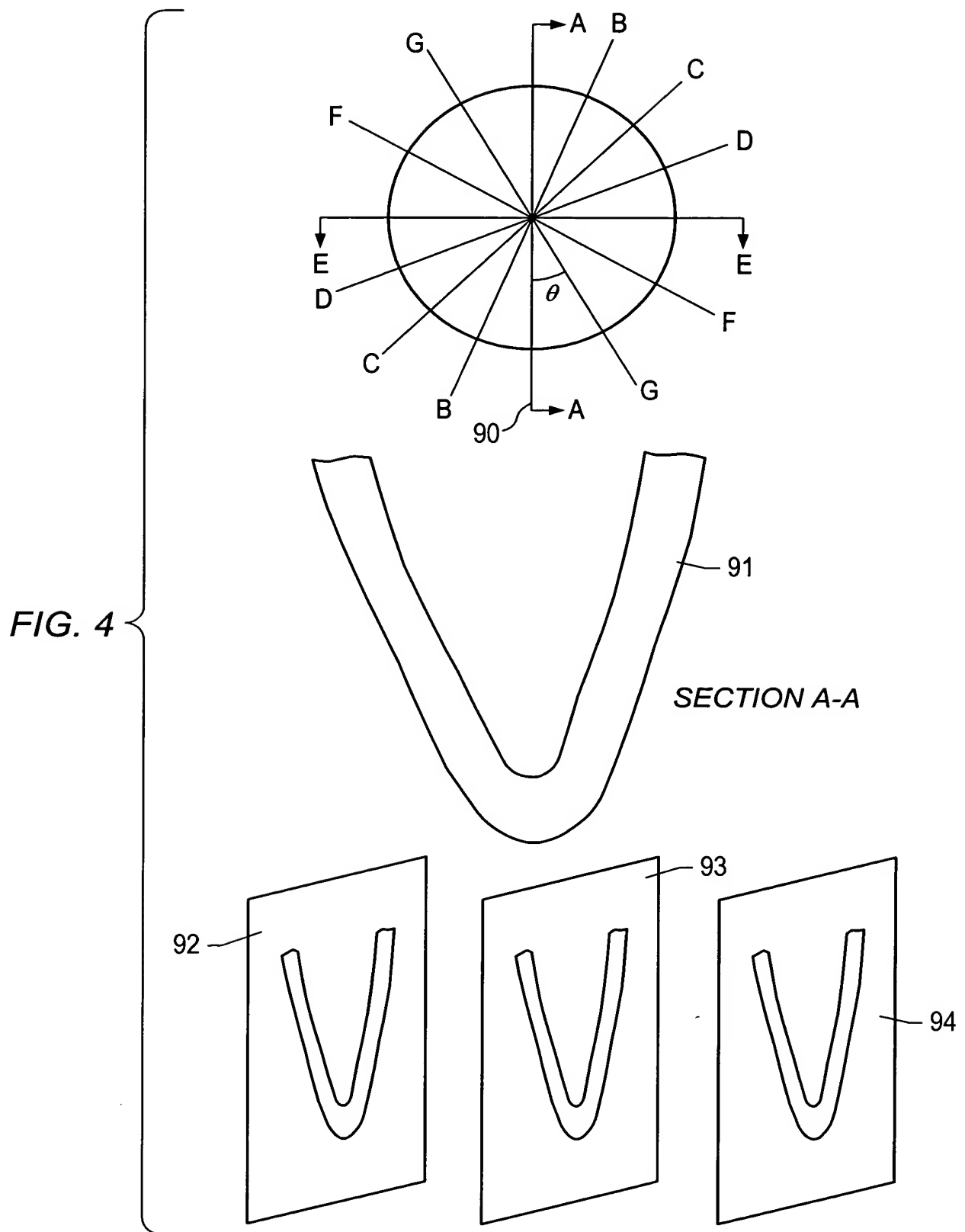
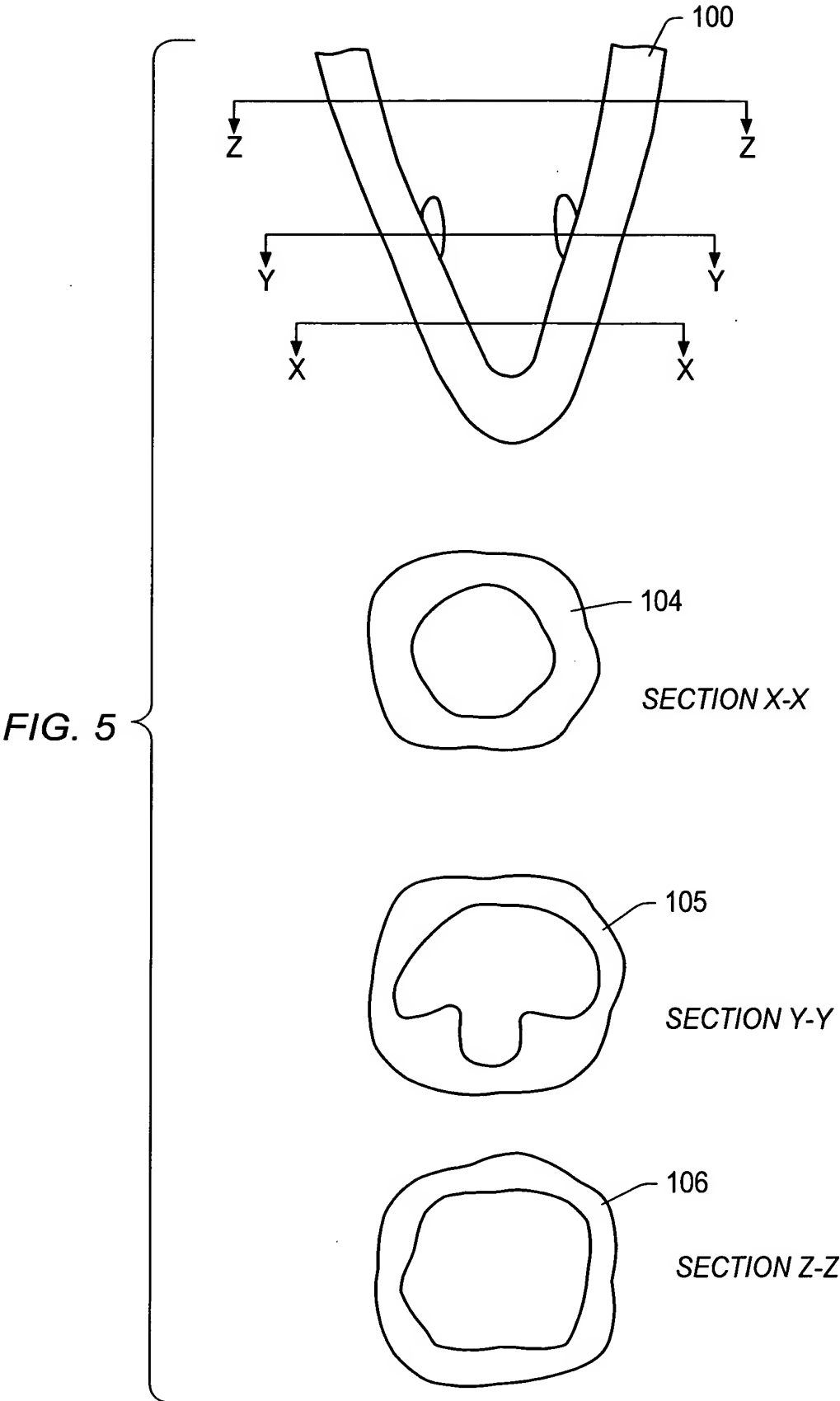


FIG. 3





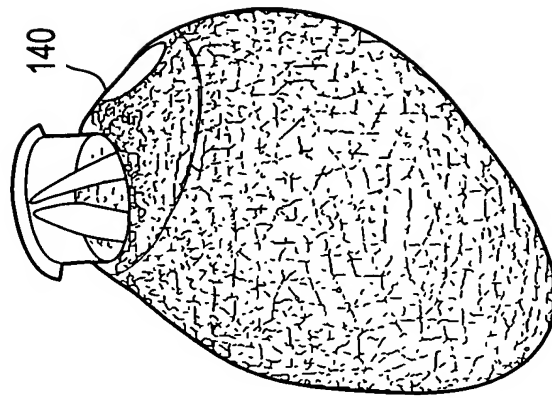


FIG. 7

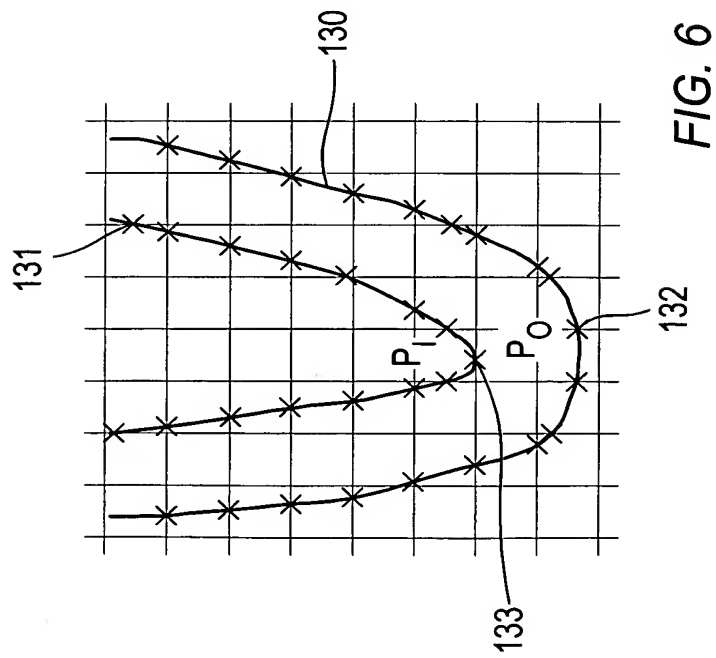
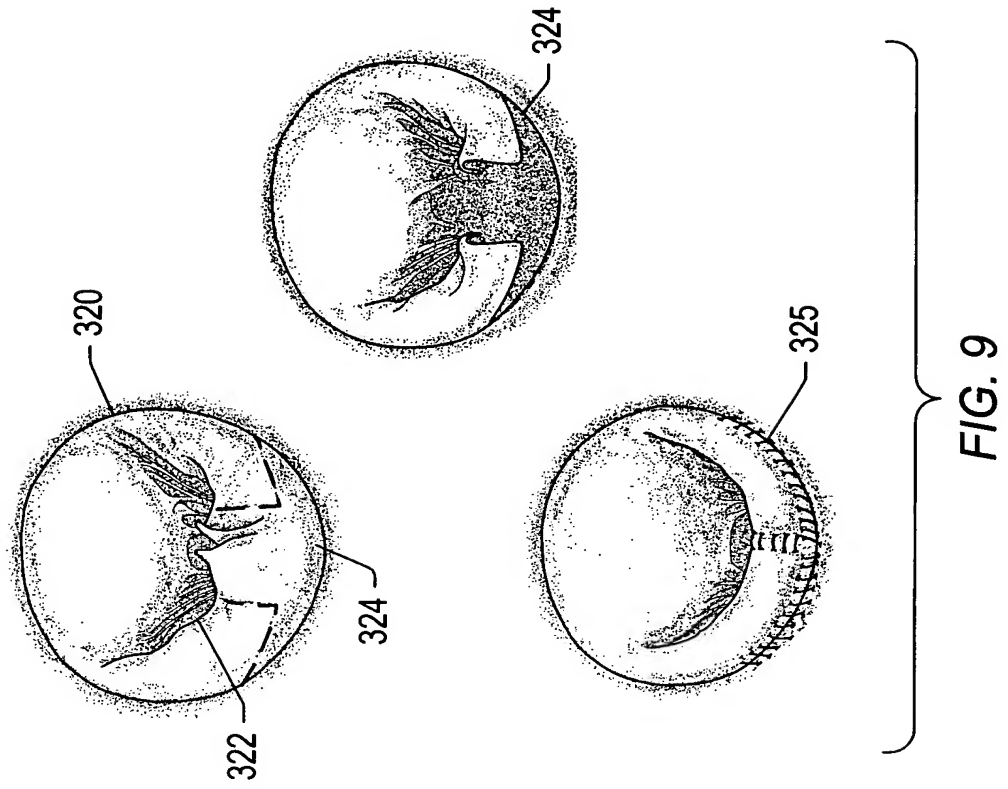
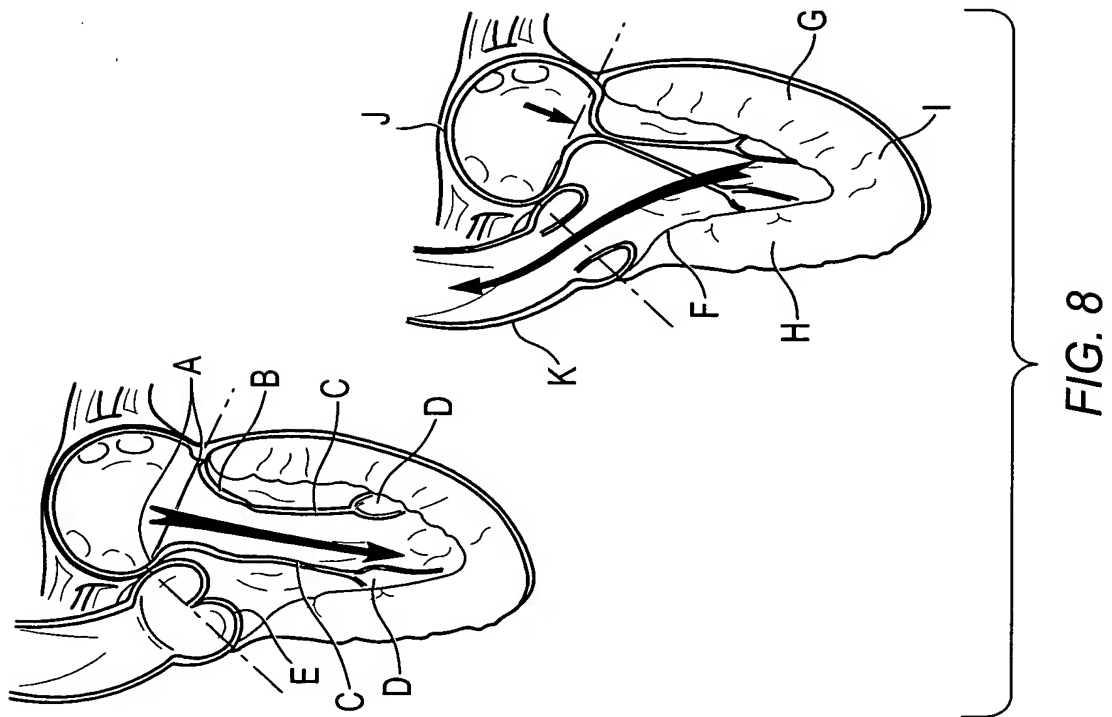


FIG. 6



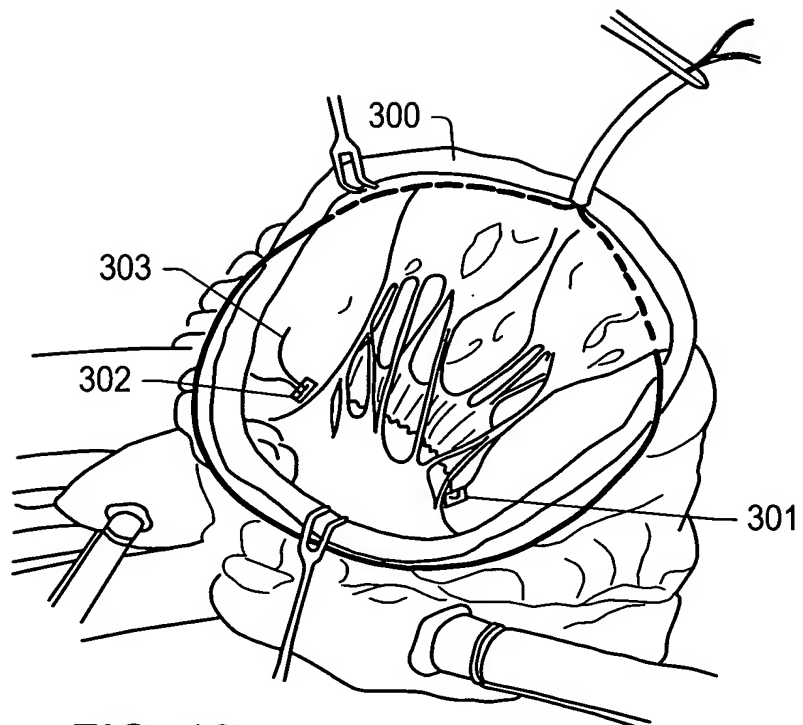
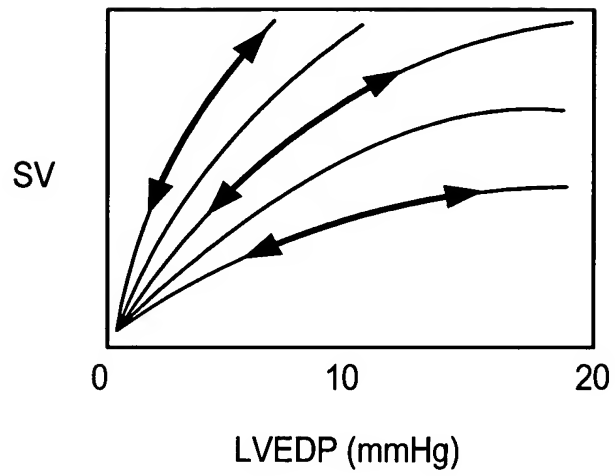


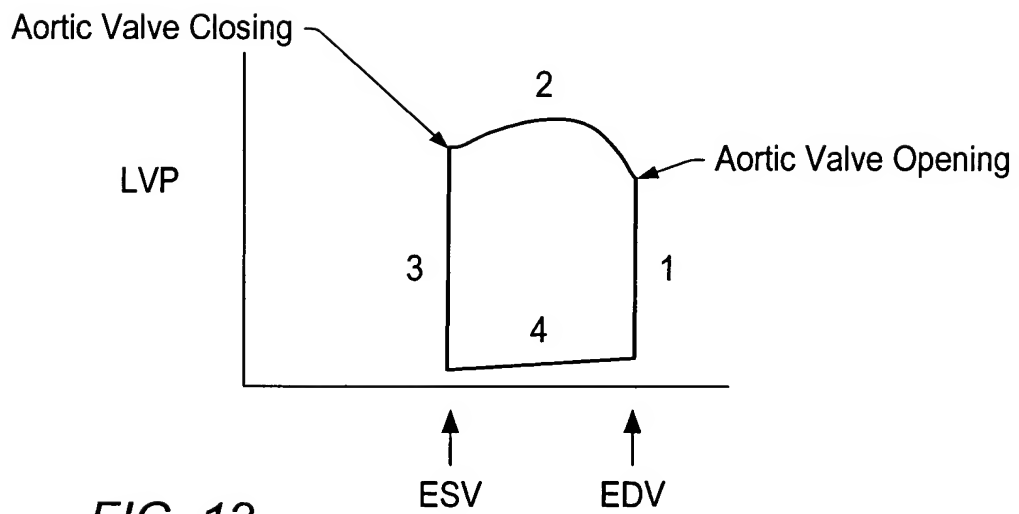
FIG. 10



9/28



**FIG. 11**



**FIG. 12**

10/28

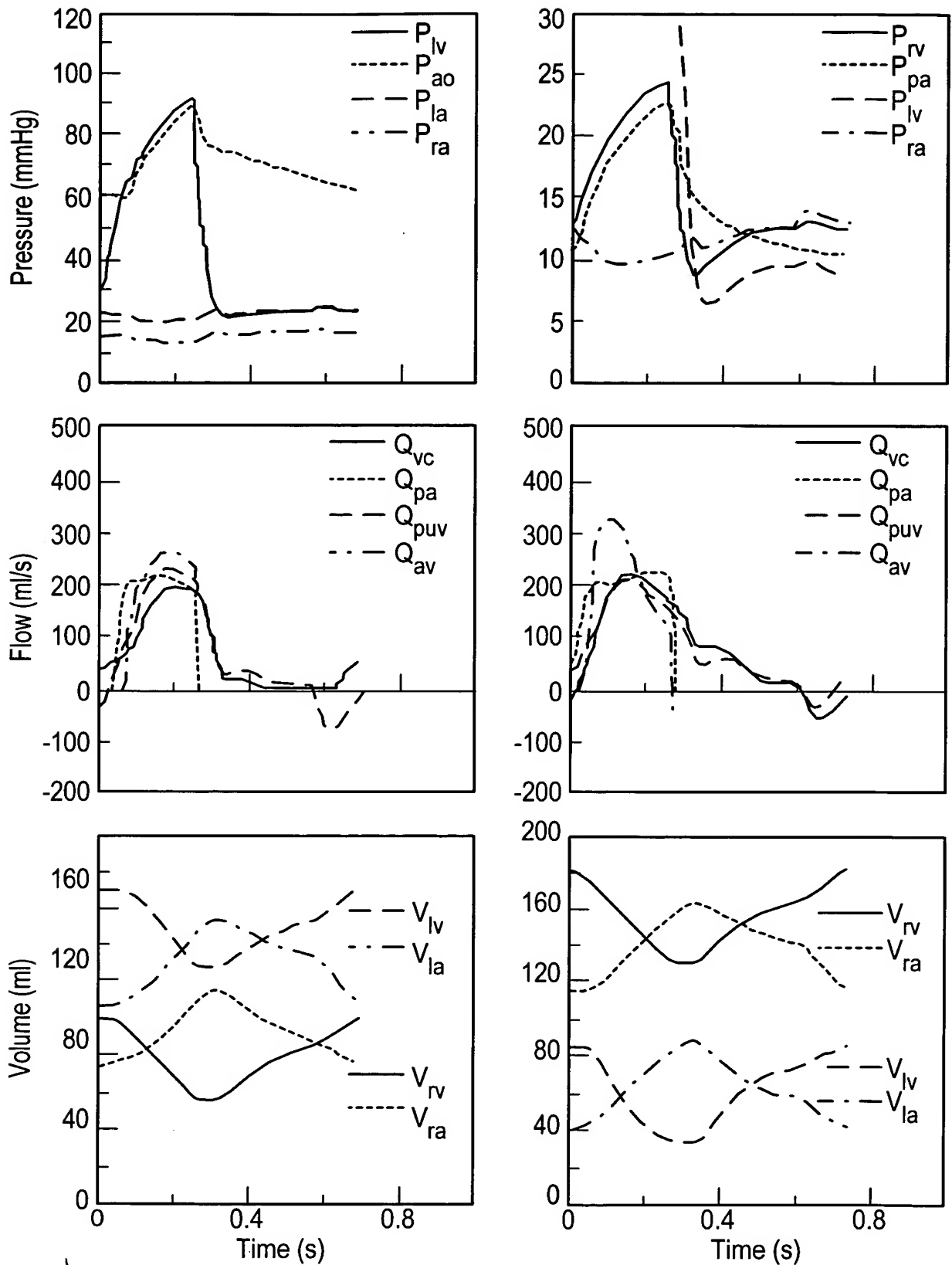


FIG. 13

FIG. 14

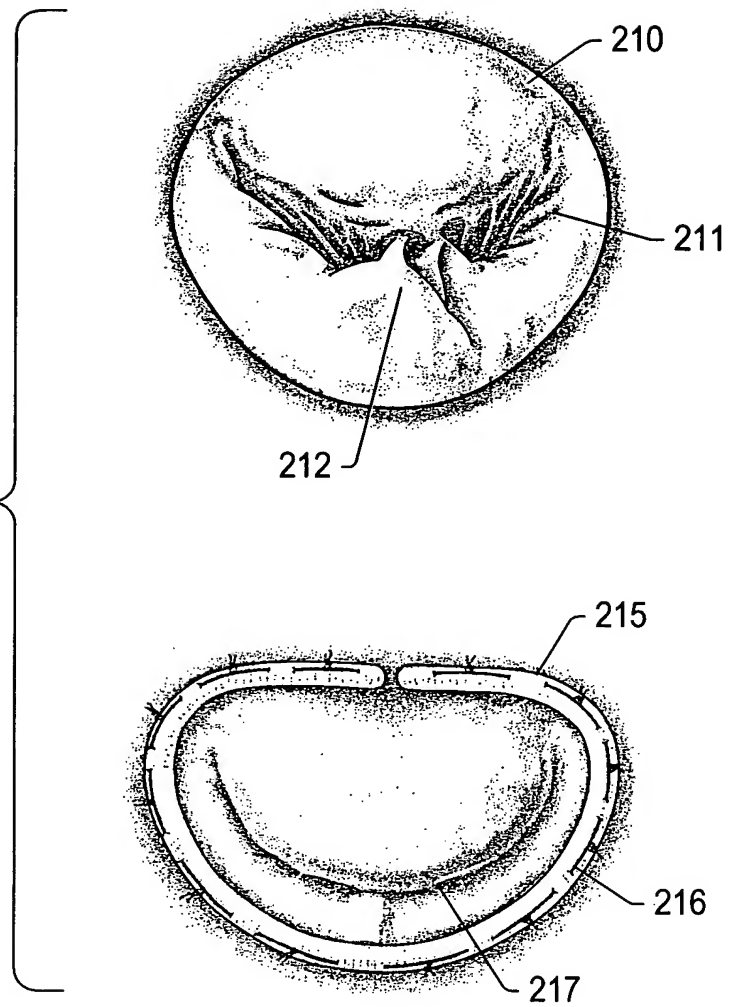
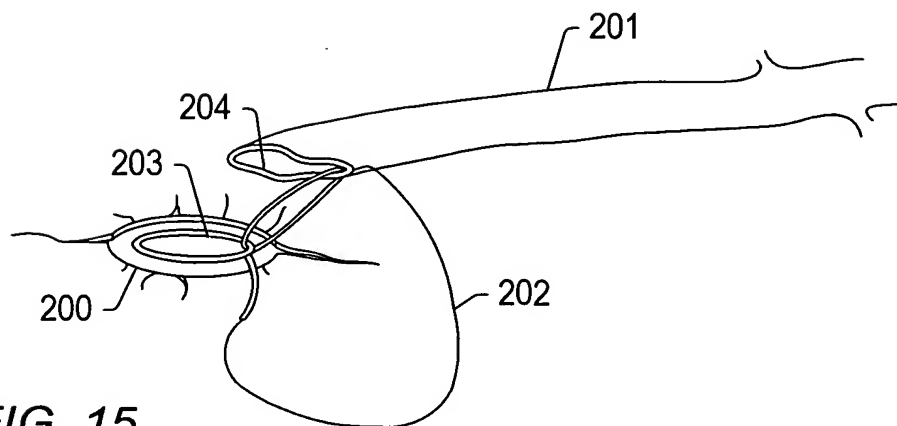


FIG. 15



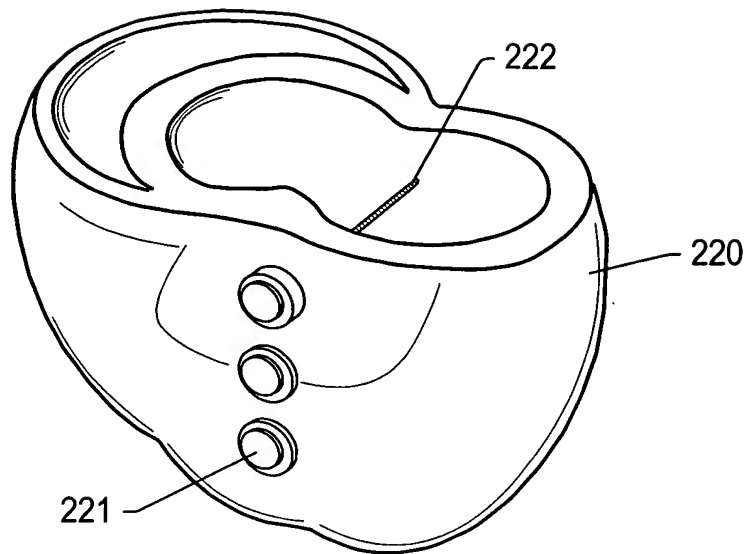


FIG. 16

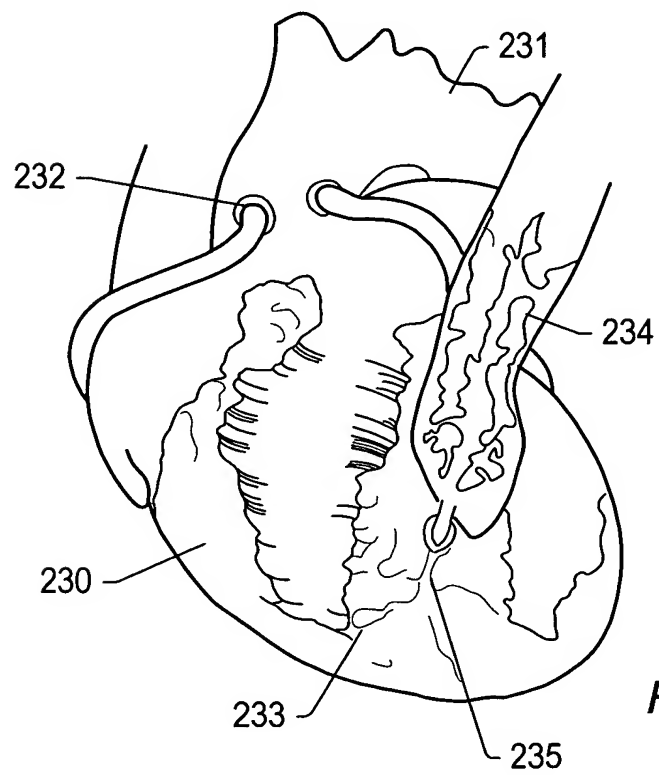
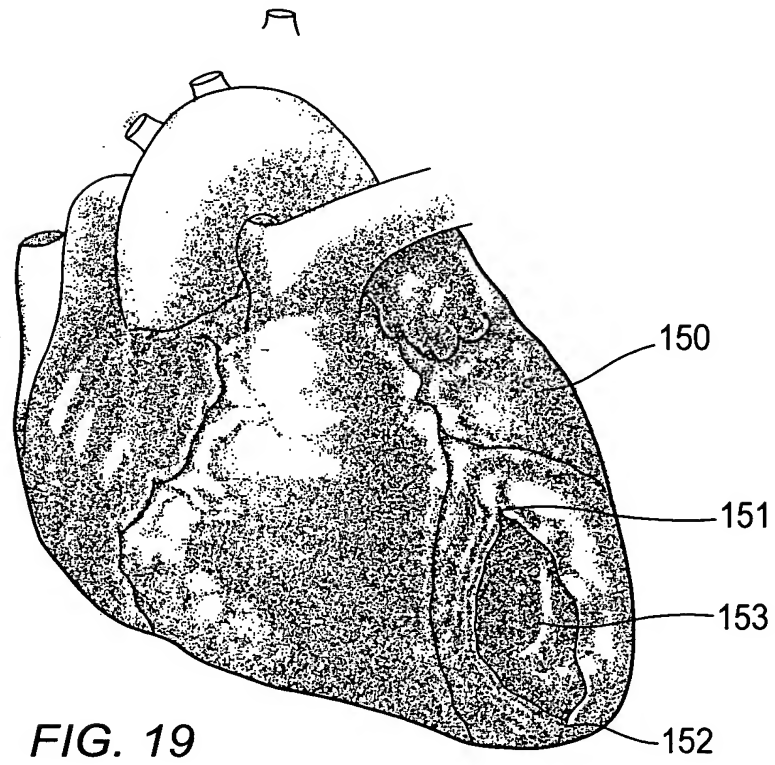
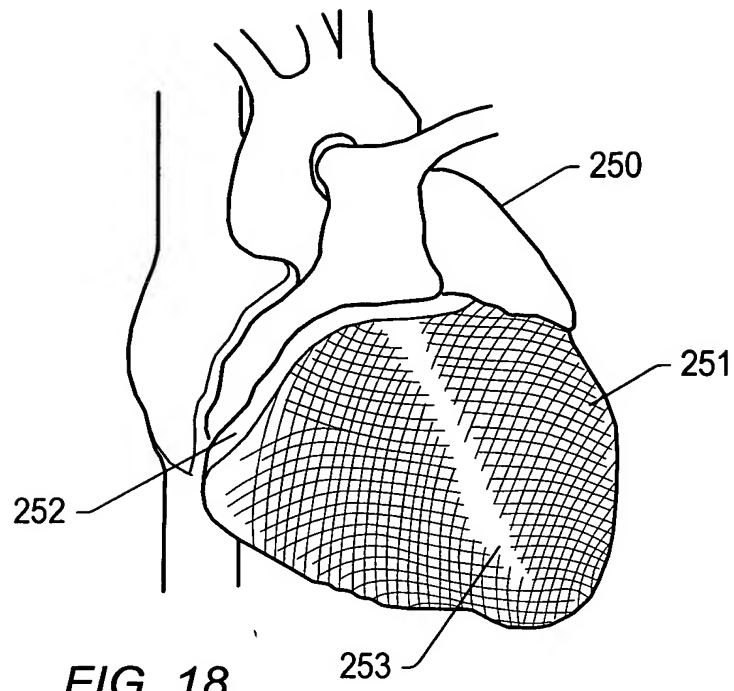


FIG. 17



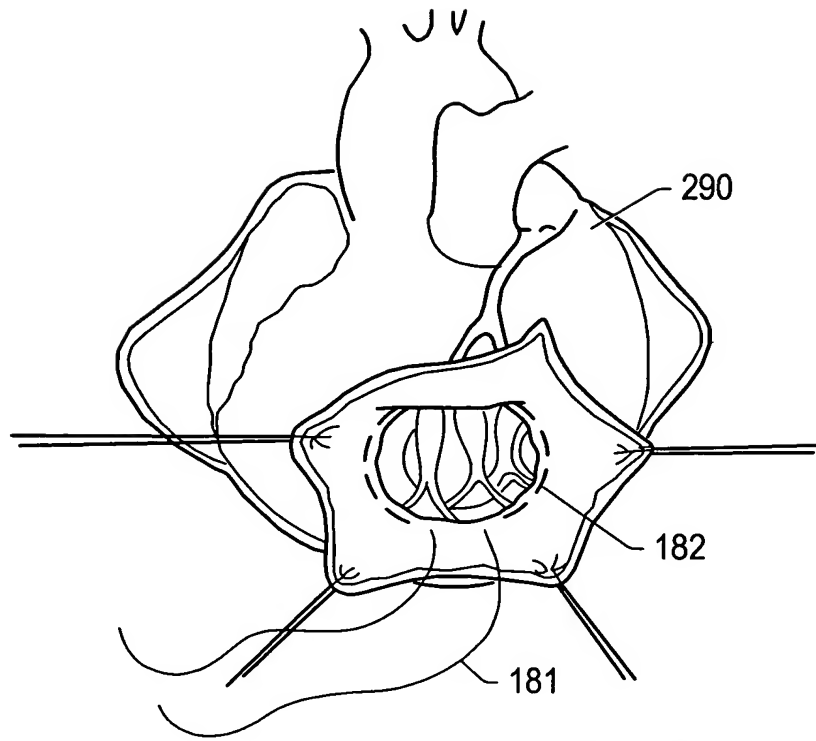


FIG. 20

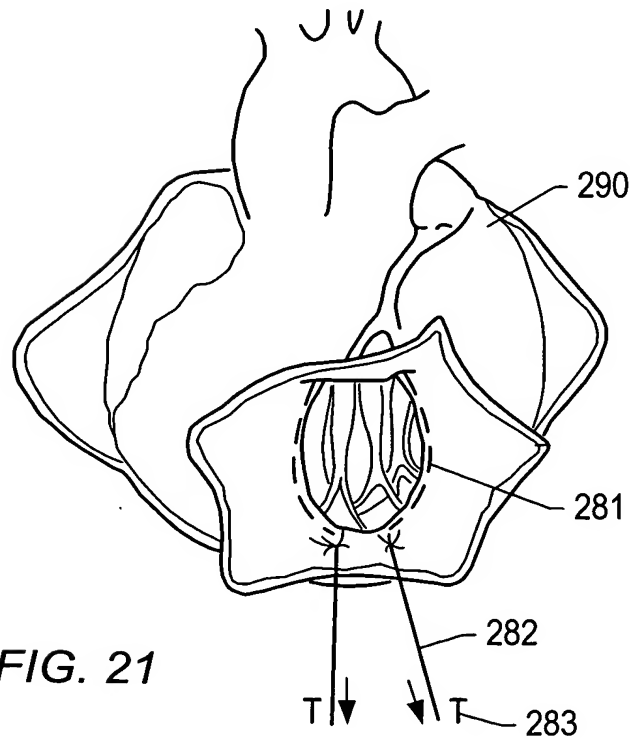


FIG. 21

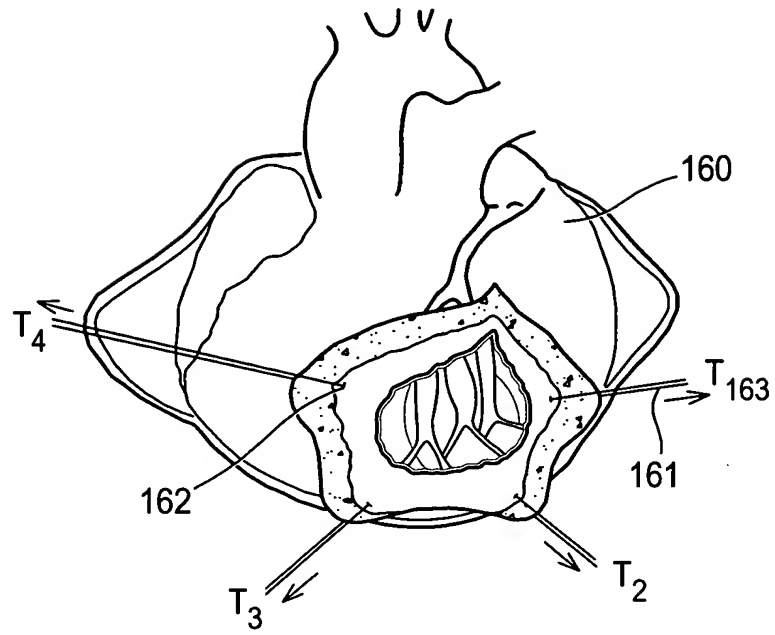


FIG. 22

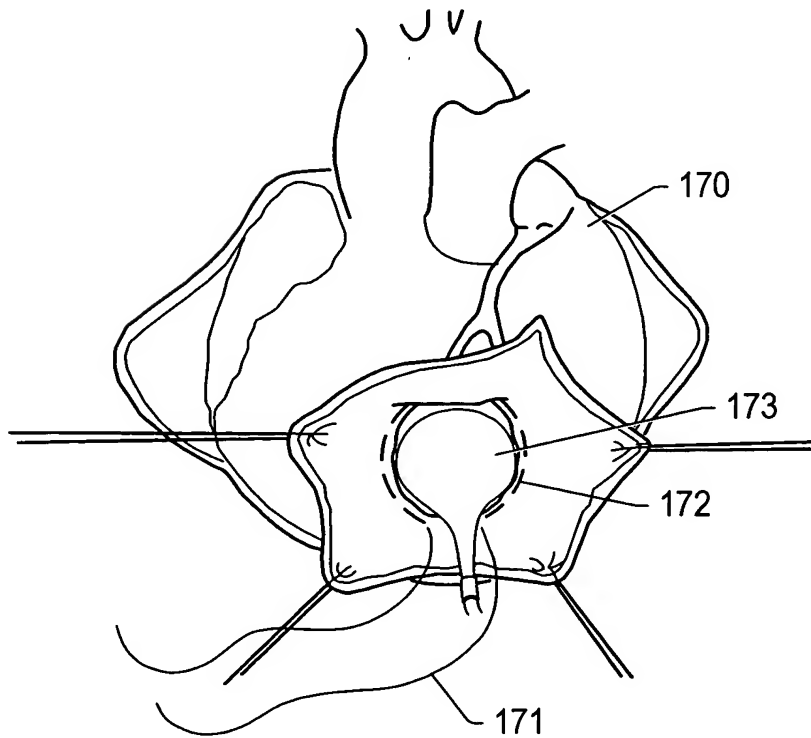


FIG. 23

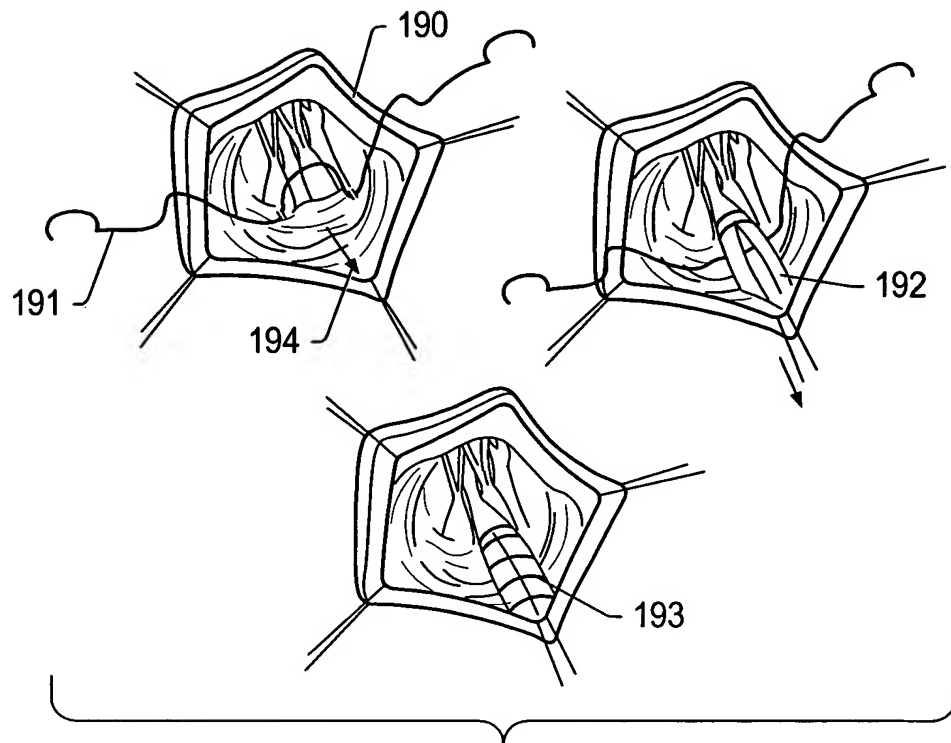


FIG. 24

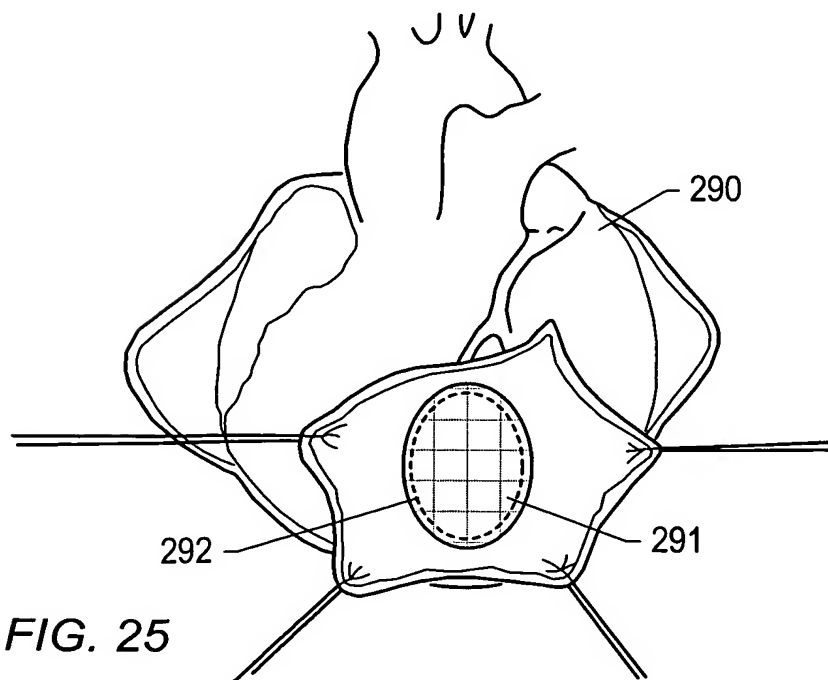


FIG. 25



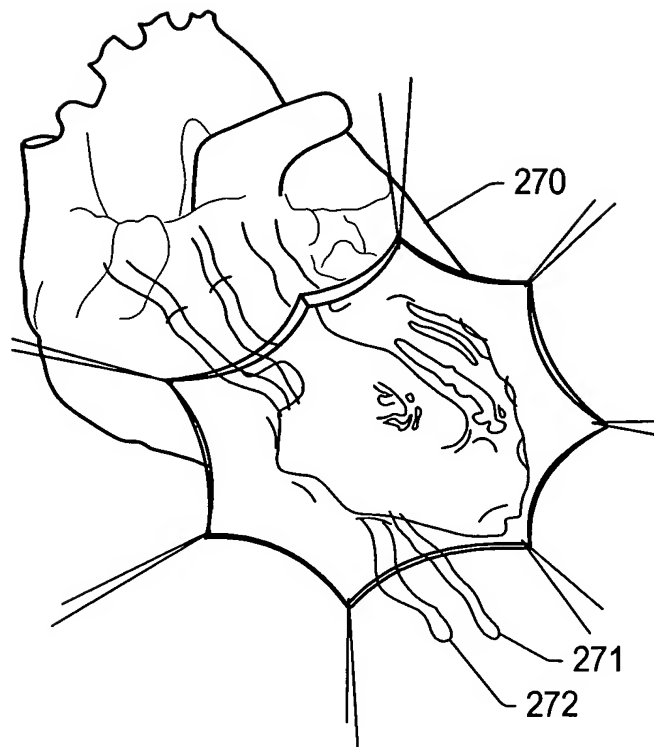


FIG. 26

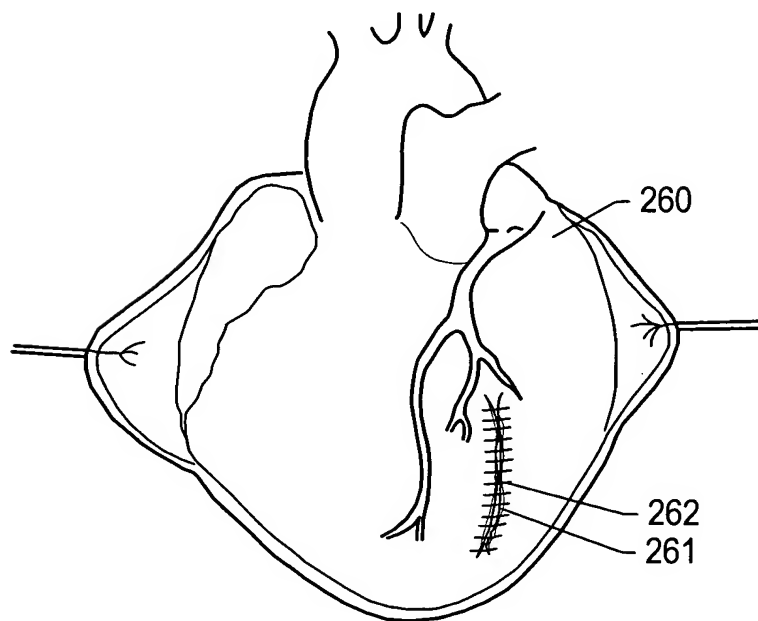


FIG. 27

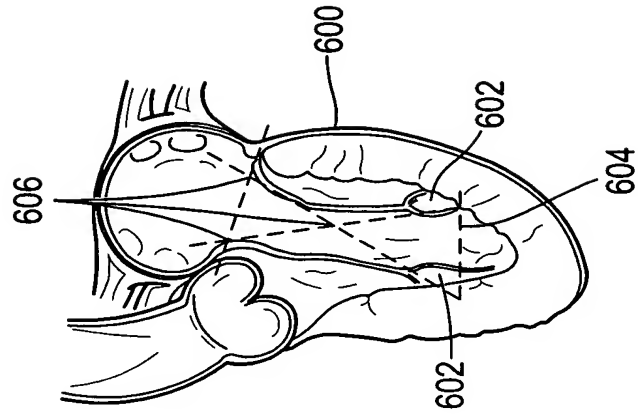


FIG. 29

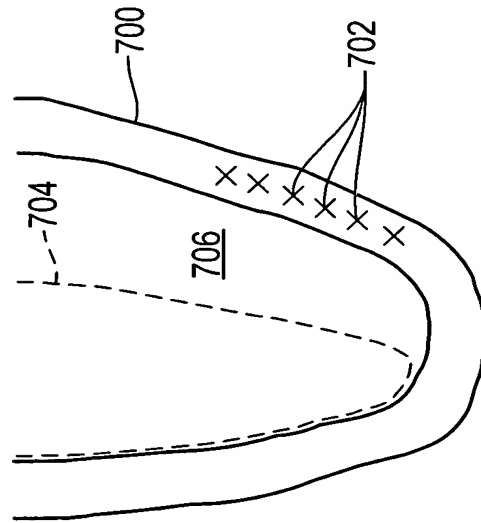
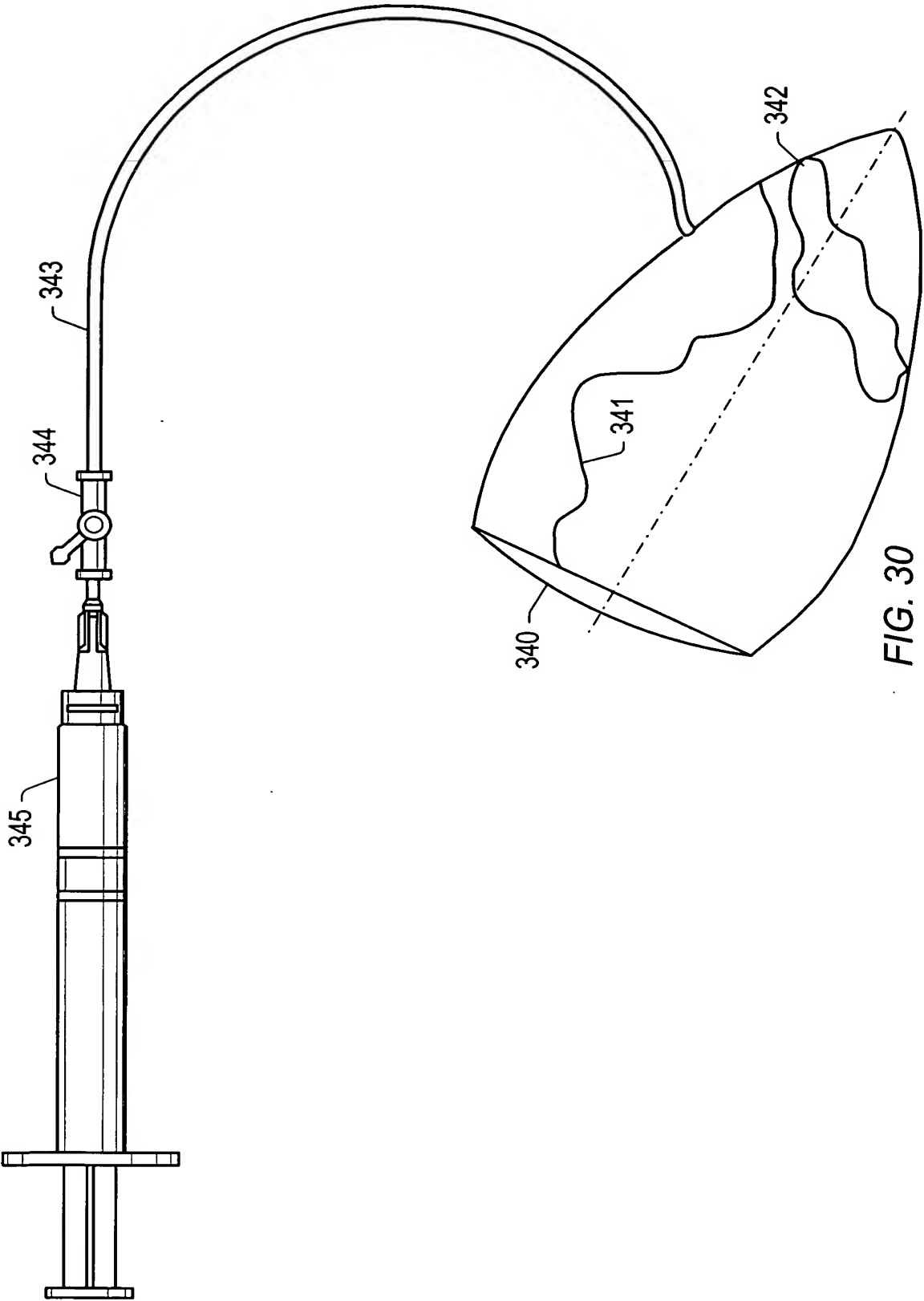
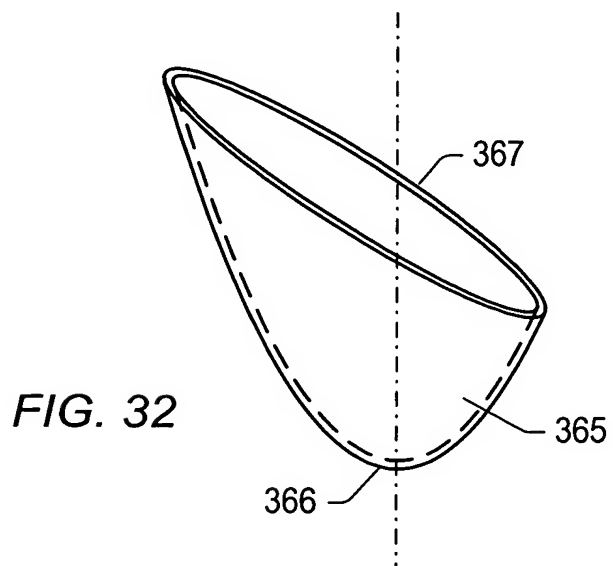
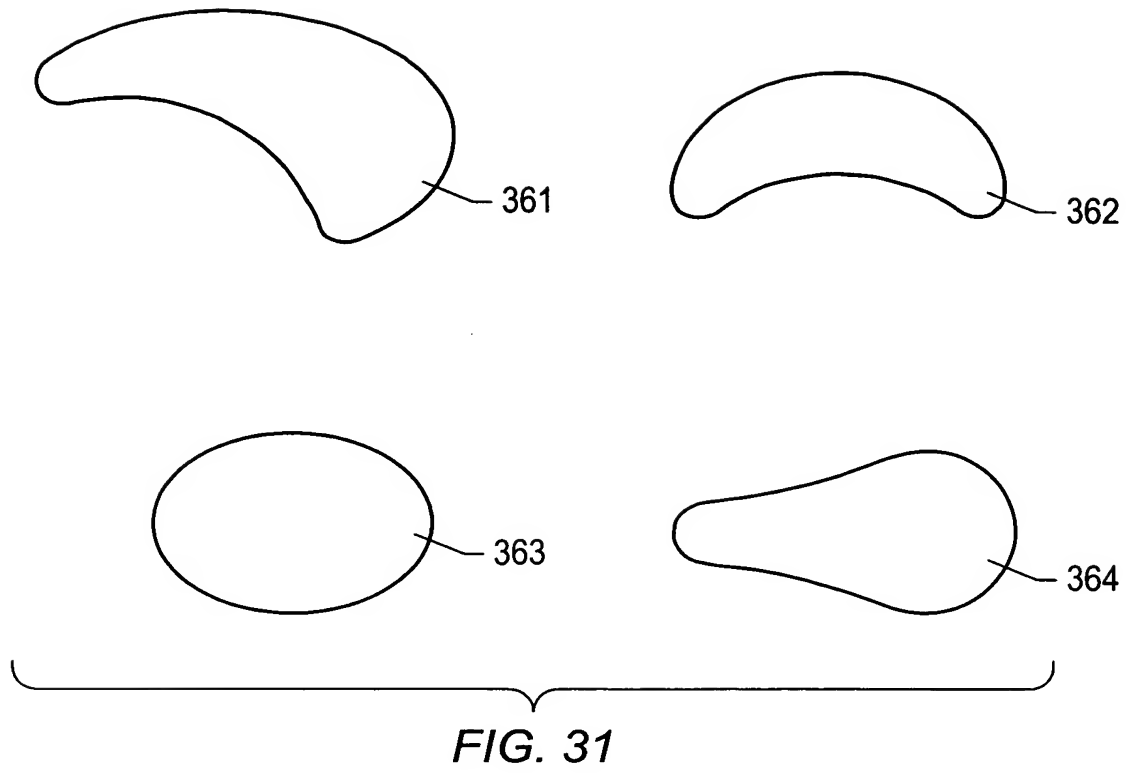
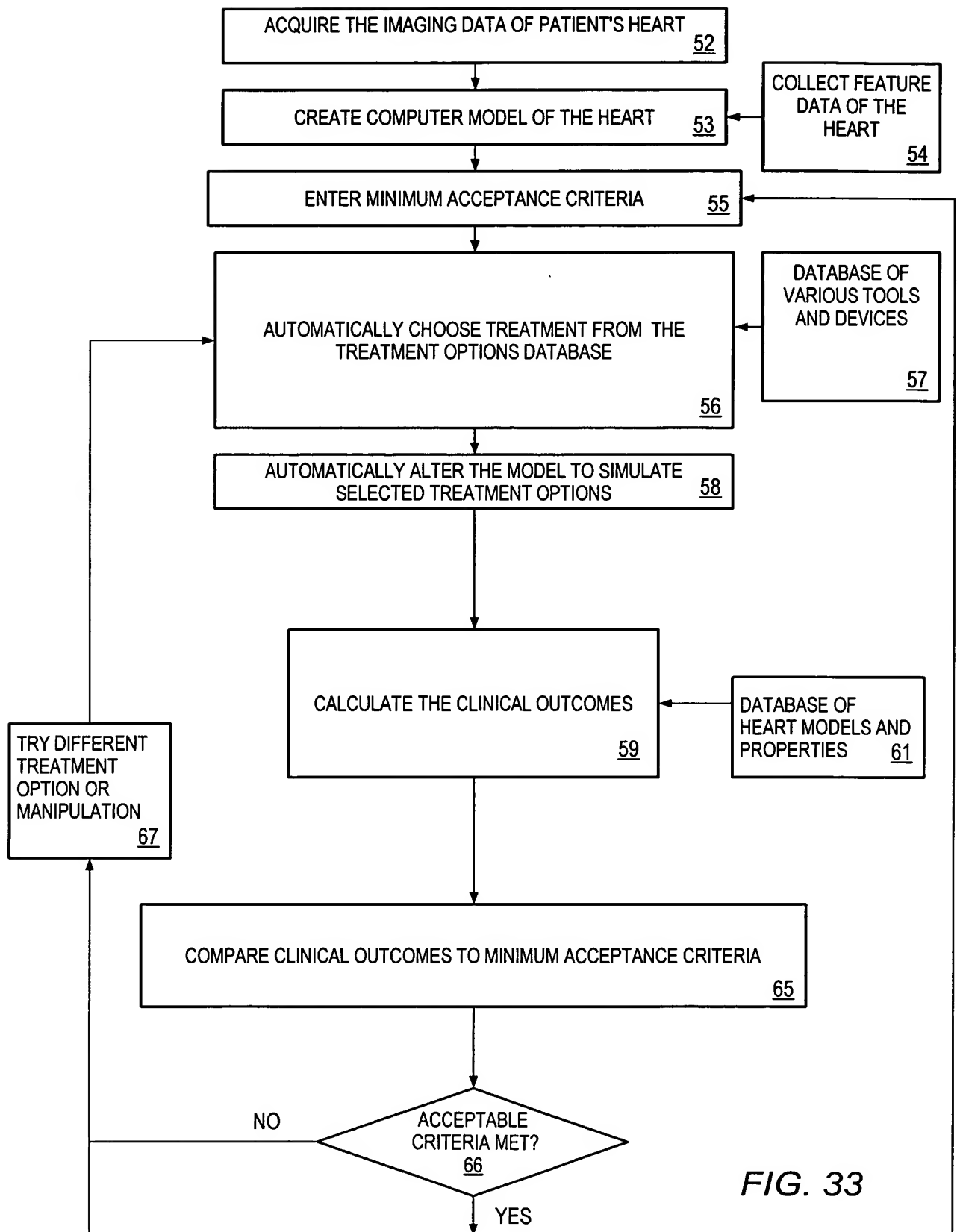
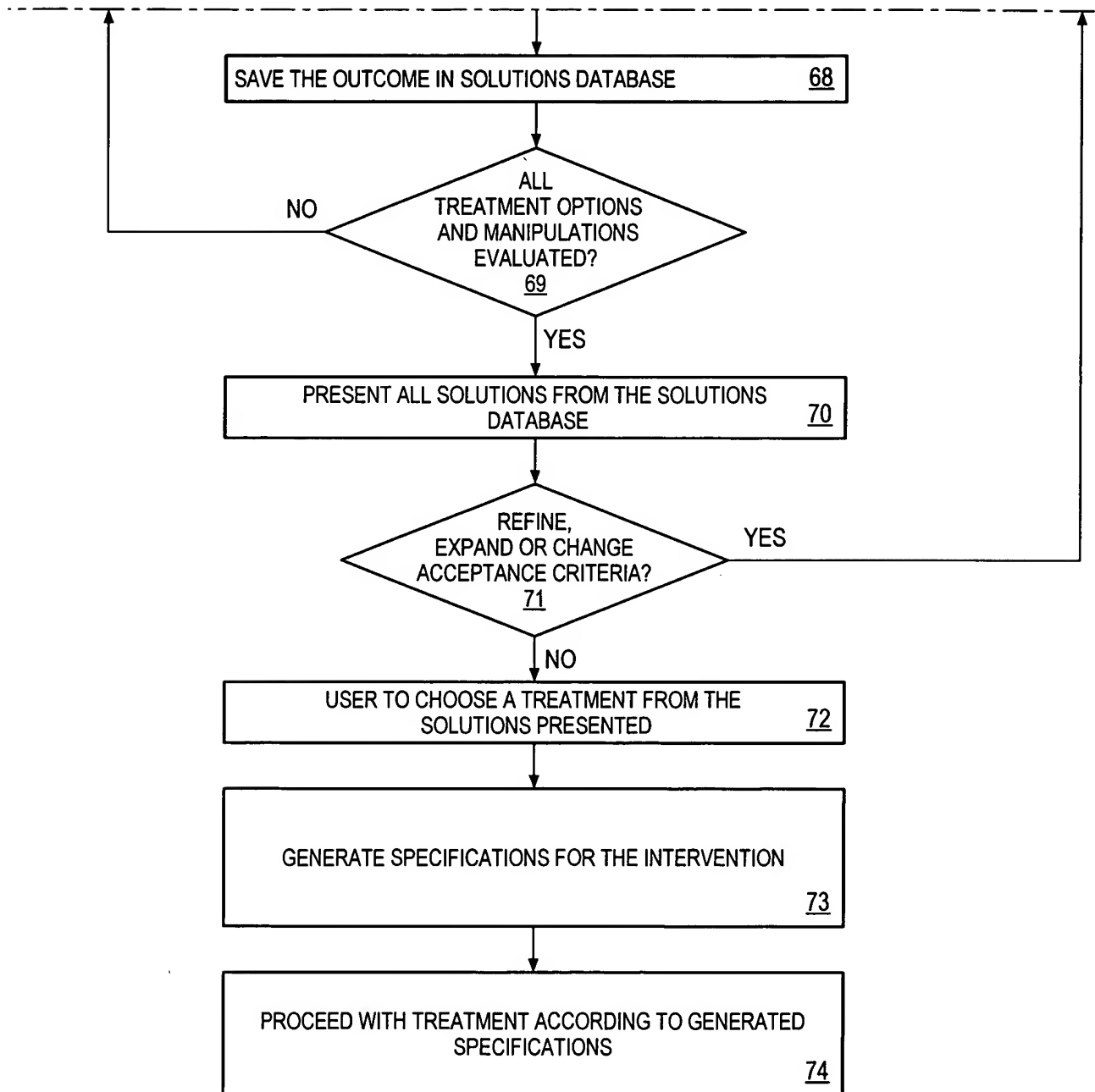


FIG. 28



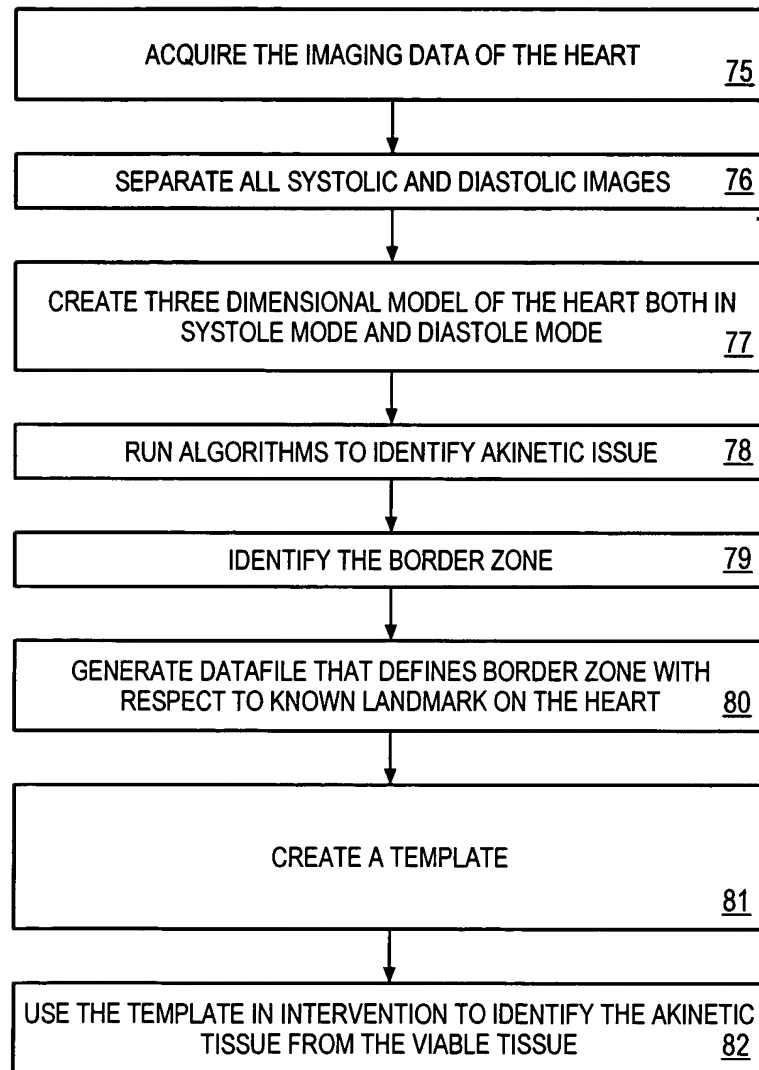




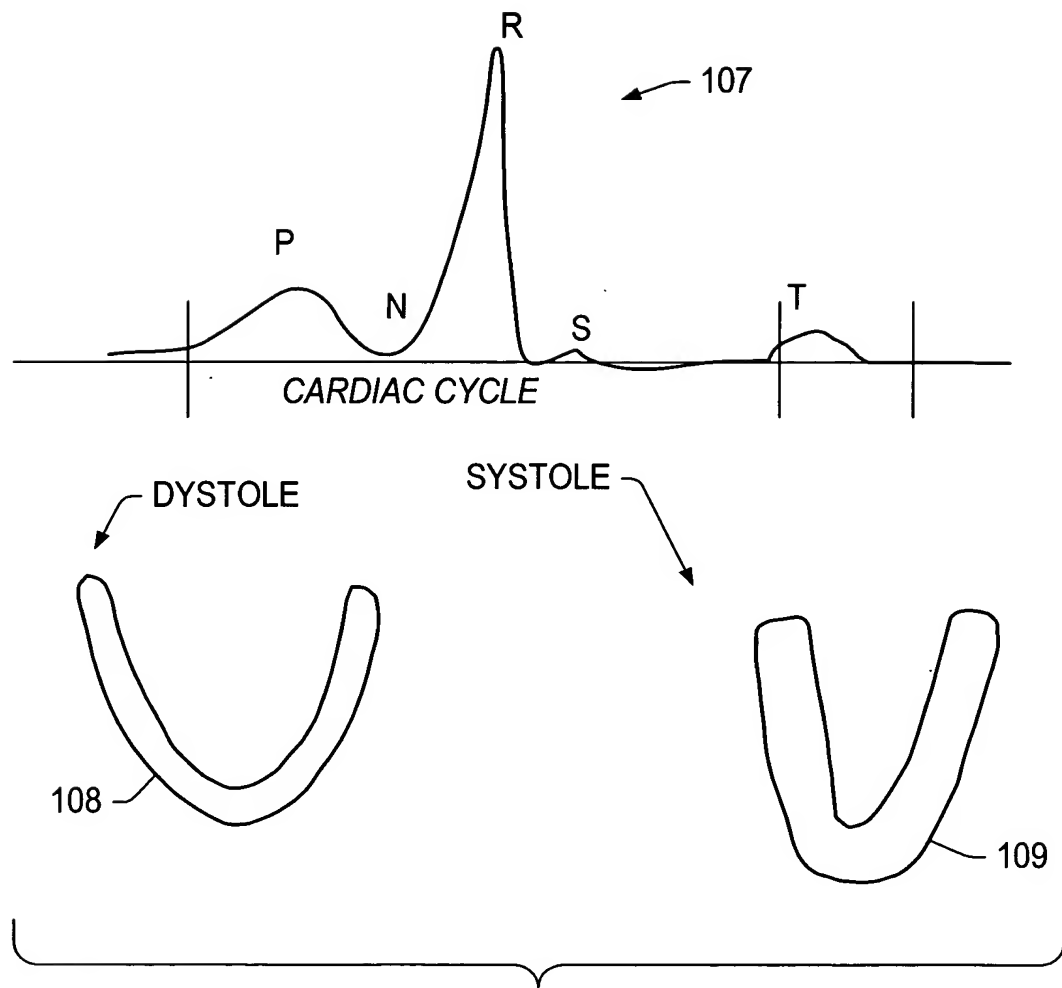


**FIG. 33**  
**CONTINUED**

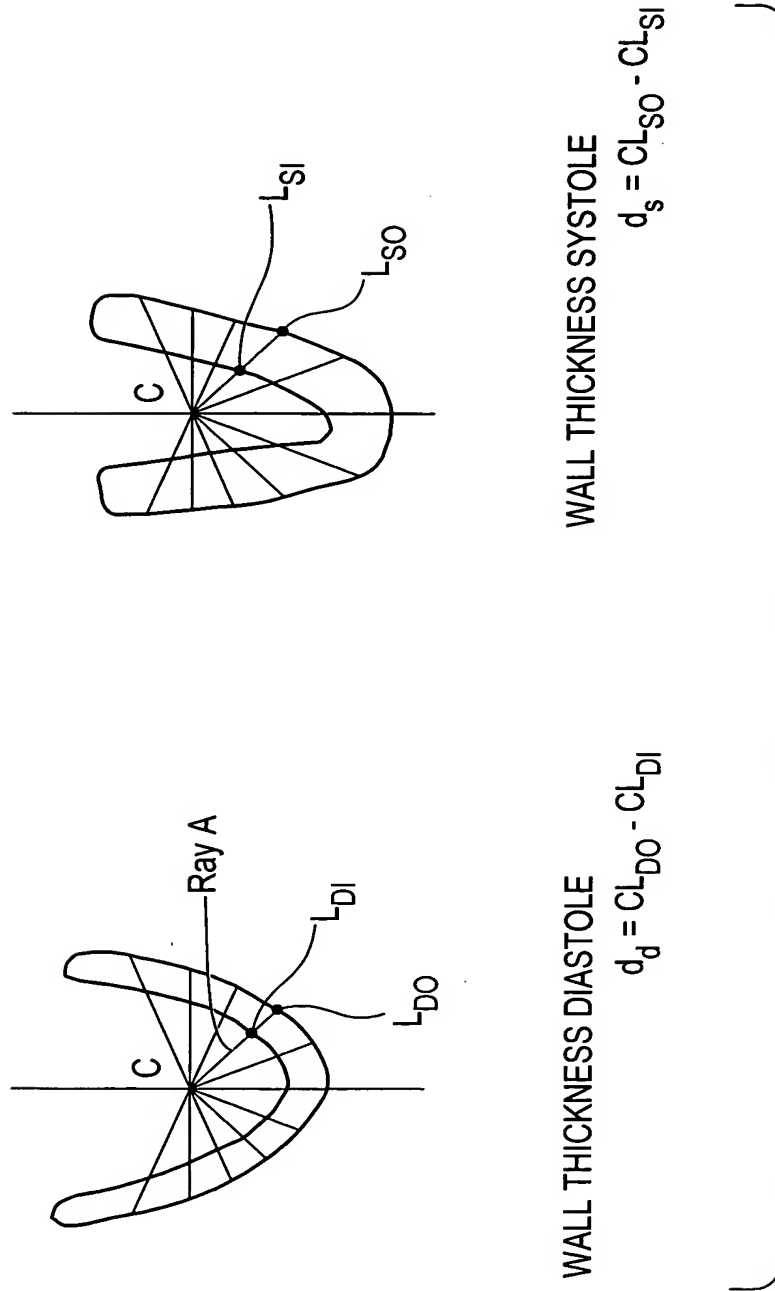
*AKINETIC SEGMENT  
IDENTIFICATION FLOWCHART*

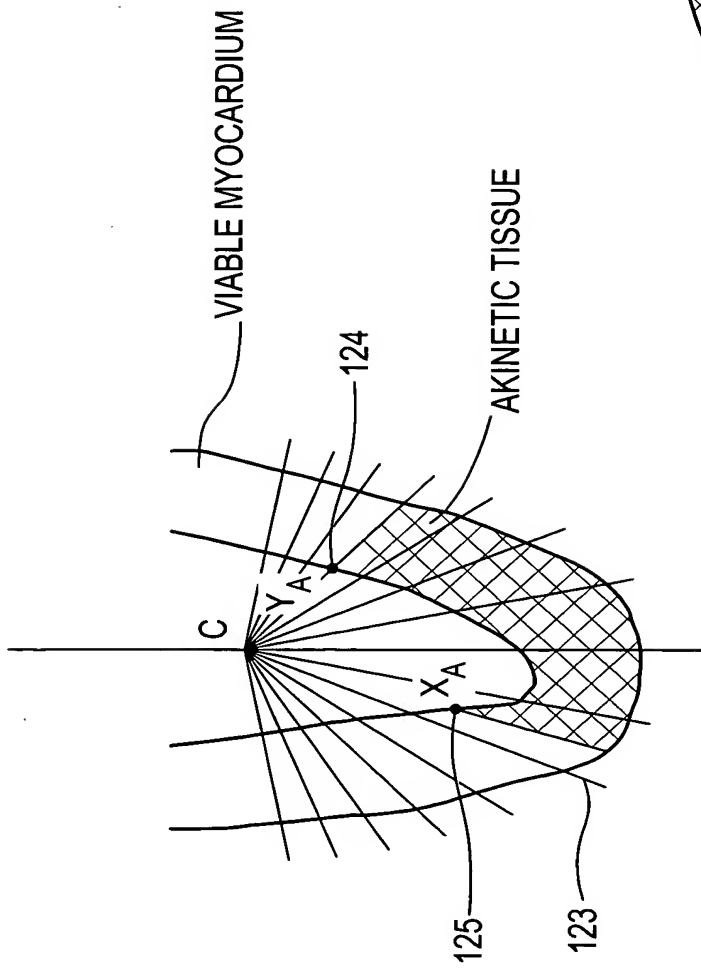


**FIG. 34**









$X_A$  &  $Y_A$  ARE POINTS ON BORDER  
ZONE IN THIS PLANE

FIG. 37

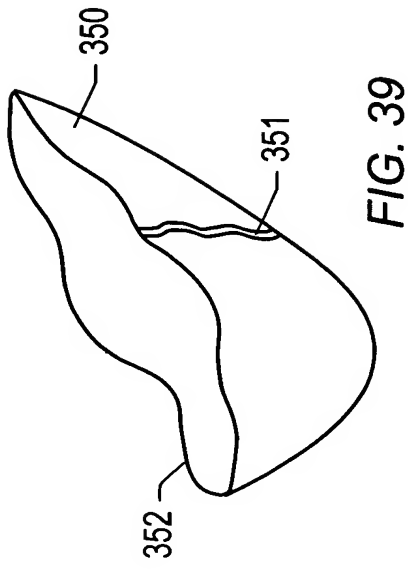


FIG. 39

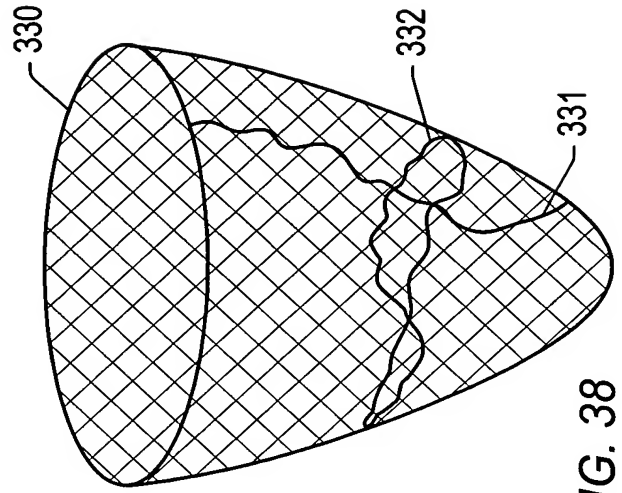
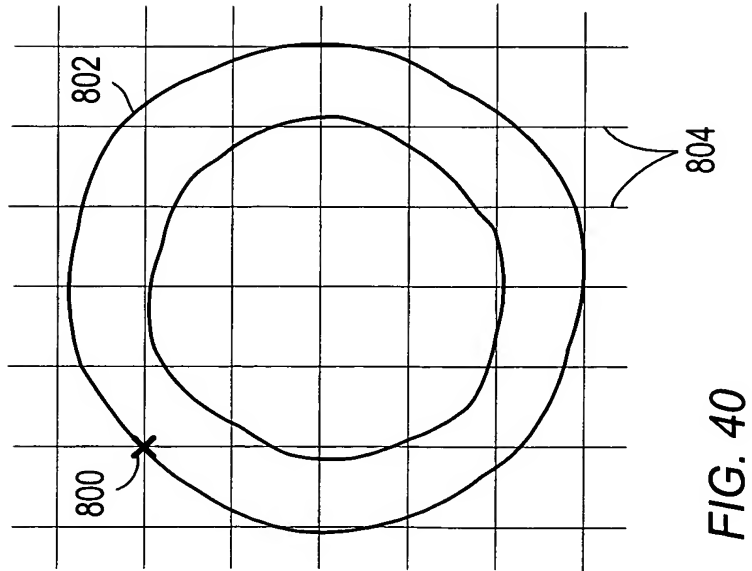
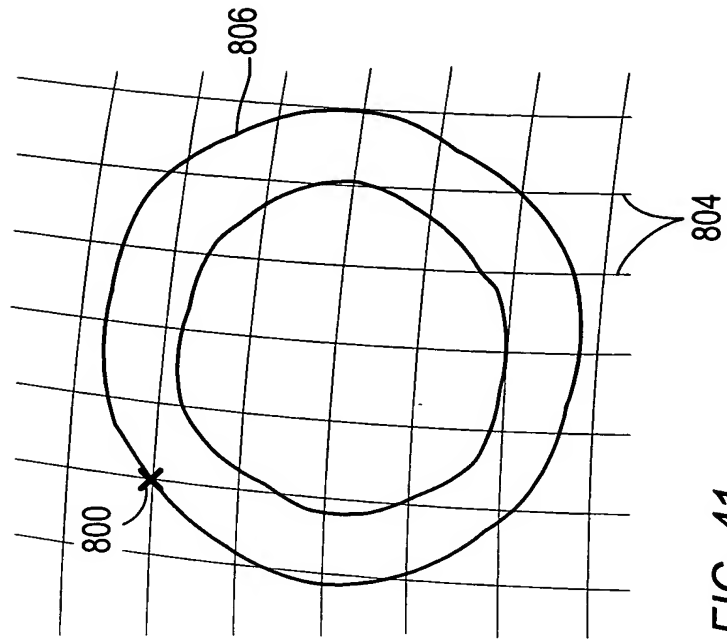


FIG. 38



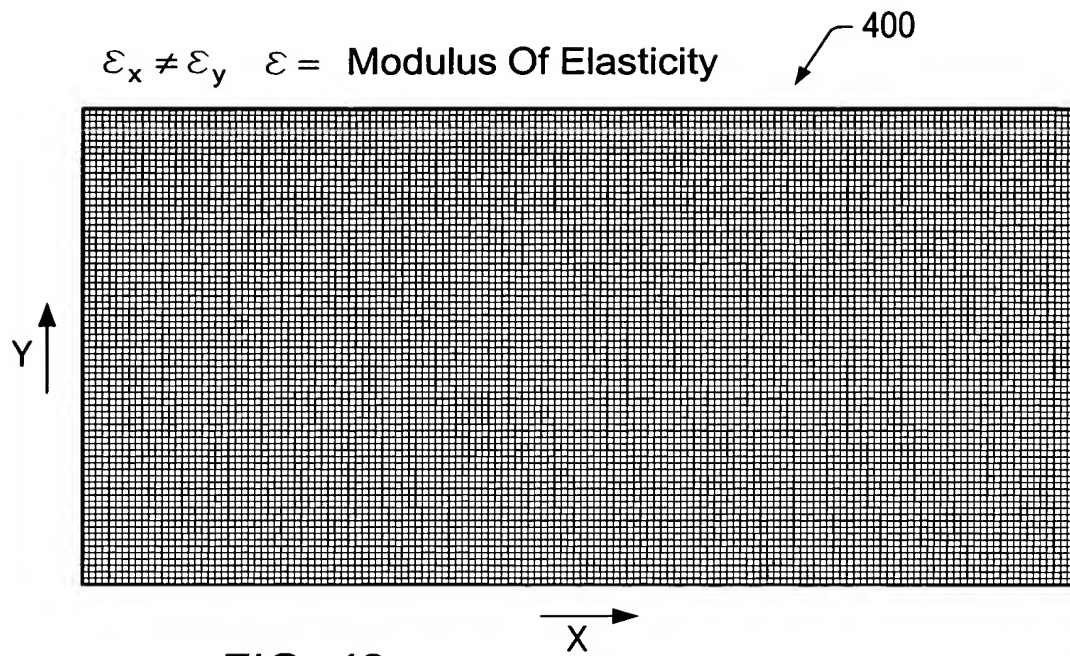


FIG. 42

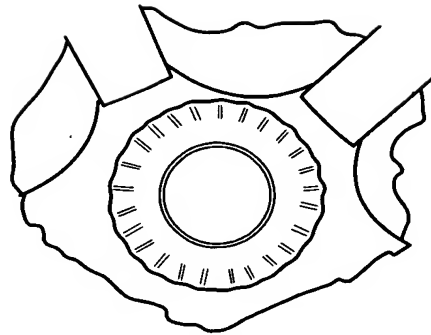


FIG. 43

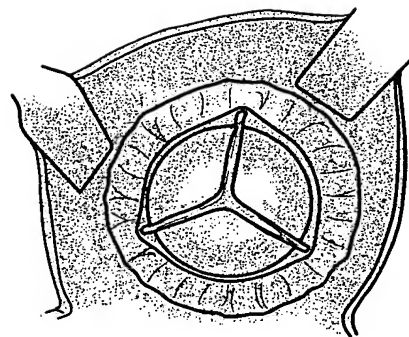


FIG. 44